PEMODELAN SEISMIK PADA STRUKTUR GEOLOGI KOMPLEKS MENGGUNAKAN METODE COMMON REFLECTION SURFACE (CRS)

By Ilham Dani



PEMODELAN SEISMIK PADA STRUKTUR GEOLOGI KOMPLEKS MENGGUNAKAN METODE COMMON REFLECTION SURFACE (CRS)

SEISMIC MODELLING IN COMPLEX GEOLOGICAL STRUCTURES USING COMMON REFLECTION SURFACE (CRS) METHOD

Ilham Dani1*, R. Mohammad Rachmat Sule2

¹Teknik Geofisika, Universitas Lampung

Received: xxxx-xx-xx Accepted: xx-xx-xx

Keyword:

Common Refelction Surface; Ray Tracing; Norsar 2D; Complex geological structure; Fur Knudeklint.

Corespondent Email:

ilham.dani0917@eng.unila.ac.id

How to cite this article:

Abstrak. Pemodelan seismik merupakan tahap penting untuk memahami respon bawah permukaan bumi terhadap gelombang seismik yang digambarkan dalam bentuk energi seismik refleksi. Walaupun saat ini teknologi pengolahan data seismik telah meningkat dengan pesat, ketidakakuratan posisi reflektor dalam penampang seismik yang dihasilkan tetap saja sering ditemukan, terutama pada daerah dengan struktur geologi kompleks. Model geologi struktur kompleks pada penelitian ini mengacu pada arsitektur glasiotektonik di daerah Fur Knudeklint, Denmark yang memiliki banyak patahan dan lipatan dengan skala kecil. Hasil simulasi perambatan gelombang dengan metode penjalaran sinar dilakukan dari dua arah akuisisi berbeda menggunakan perangkat lunak Norsar 2D untuk mendapatkan seismogram sintetik. Data yang dihasilkan kemudian digunakan sebagai masukan untuk pengolahan data seismik secara konvensional maupun menggunakan metode Common Reflector Surface (CRS) Stack. Hasilnya menunjukkan bahwa akuisisi data dari arah foot wall memberikan citra reflektor yang lebih representatif dibandingkan dari arah sebaliknya. Penegasan kualitas reflektor terlihat jelas di tiga area utama, yaitu CDP 20-100, CDP 120-180 dan CDP 160-330. Dengan demikian, metode CRS Stack berhasil merekonstruksi reflektor-reflektor berupa lipatan kecil dan perlapisan tipis pada struktur geologi kompleks dengan kualitas lebih baik dibandingkan metode konvensional.

²Teknik Geofisika, Istitut Teknologi Bandung

Abstract. Seismic modelling is an important step in understanding the subsurface response to seismic waves described in terms of reflected seismic energy. Although currently seismic data processing technology has improved rapidly, inaccuracy of reflectors position in the resulting seismic section are still often found, especially in areasyvith complex geological structures. The complex geological structure model used in this study refers to the glaciotectonic architecture in the Fur Knudeklint, Denmark, which has many faults and folds on a small scale. The results of the simulation of wave propagation using the ray tracing method where carried out from two different acquisition directions using Norsar 2D software to obtain synthetic seismograms. The resulting data is then used as input data for conventional seismic data processing and uses the Common Reflector Surface (CRS) Stack method. The results show that data acquisition from the foot wall direction provides a more representative reflector image than from the opposite direction. Affirmation of reflector quality is clearly visible in three main areas, namely CDP 20-100, CDP 120-180 and CDP 160-330. Thus, the CRS stack method succeeded in reconstructing reflectors in the form of small folds and thin layers on complex geological structures with better quality than conventional ones.

1. PENDAHULUAN

Perkembangan teknologi akuisisi dan pengolahan data seismik refleksi saat ini telah memungkinkan untuk mendapatkan citra kondisi bawah permukaan dengan lebih baik dan akurat. Namun pada kondisi tertentu, seperti pada struktur geologi kompleks, pengolahan data seismik masih banyak memiliki ketidakpastian yang membatasi keakuratan pencitraan kondisi bawah permukaan akibat adanya fenomena difraksi dan lapisan-lapisan miring dan melengkung (Nainggolan & Subarsyah, 2014). Pemilihan metode stacking yang tepat pada pengolahan data seismik akan sangat menentukan kualitas penampang seismik yang dihasilkan (Ruckemann, 2012).

Terdapat tiga metode stacking data yang umum digunatin untuk meningkatkan rasio S/N, yaitu: Common Mid Point (CMP), Common Reflection Point (CRP) dan Common Reflection Surface (CRS). CMP stacking cukup ampuh untuk data dengan distribusi Offset reguler pada interval konstan dalam Common Depth Point (CDP) gathers, namun kualitas

penyebaran titik refleksi menurun pada reflektor miring. Kualitas titik refleksi pada lapisan miring kemudian dapat ditingkatkan mengaplikasikan Dip Moveout Correction (DMO) pada metode CRP stacking (Coimbria dkk., 2016; Yilmaz & Claerbout, 1980). Bagaimanapun, metode CRP stacking tidak mampu mengembalikan posisi reflektor yang melengkung atau akibat ketidakhomogenan lapisan. Müller (1998) dan Mann dkk. (1999) kemudian mempopulerkan metode CRS stack untuk mengatasi masalah pada reflektor melengkung atau ketidakhomogenan lapisan tersebut.

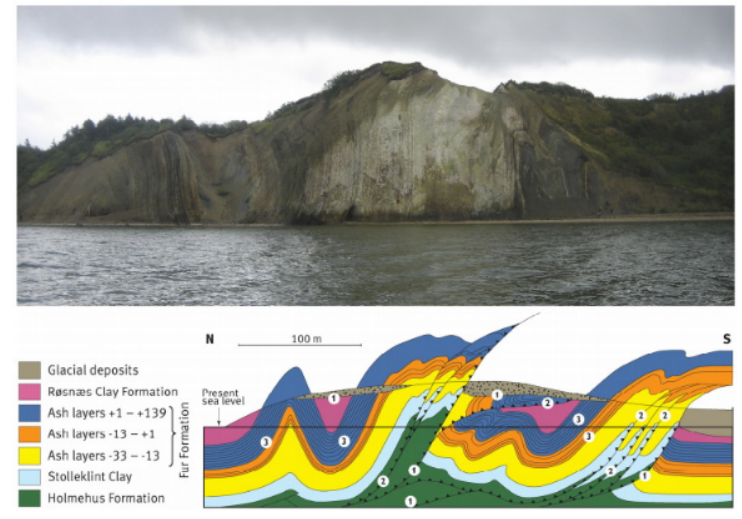
Pemodelan seismik dengan metode CRS dilakukan degan mencari nilai atribut-atribut CRS, yaitu radius kelengkungan gelombang normal incident point ($R_{\rm NIP}$), radius kelengkungan gelombang normal ($R_{\rm NIP}$), radius kelengkungan gelombang normal ($R_{\rm NIP}$) dan sudut datang gelombang pantul ($R_{\rm NIP}$). Ketiga atribut tersebut dapat diperoleh dengan beberapa teknik perhitungan, salah satunya adalah teknik langsung, yaitu dengan mencari nilai $R_{\rm NIP}$, $R_{\rm NIP}$ dan $R_{\rm NIP}$ pada batas aperture tertentu. Teknik ini efektif mengembalikan posisi

reflektor, namun memerlukan komputasi yang cukup rumit sehingga baru dapat diaplikasikan pada model geologi sederhana. Penelitian ini bertujuan untuk efektifitas metode CRS stack dengan teknik langsung pada model struktur geologi yang lebih kompleks.

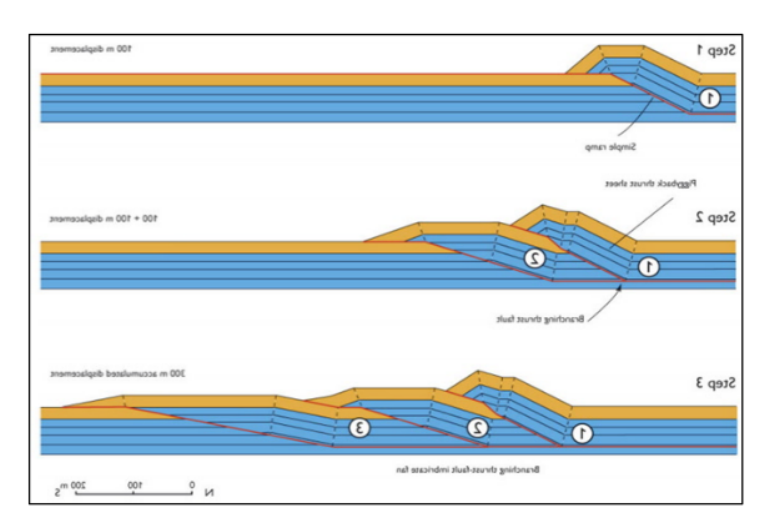
Struktur geologi kompleks yang akan dibahas dalam penelitian ini mengacu pada model geologi arsitektur glasiotektonik di daerah Fur Knudeklint, Denmark (Pedersen, 2014). Model ini memiliki karakteristik berupa lapisan-lapisan yang terkompresi dengan kuat pada skala yang kecil (Gambar 1). Model ini dipilih karena pembentukannya dipengaruhi oleh gaya kompresi yang dominan, dimana geologi struktur kompleks di Indonesia juga banyak dikontrol oleh gaya jenis ini, terutama

di wilayah timur Indonesia seperti Pulau Seram, Ambon, Halmahera dan lain-lain (Pownall dkk., 2013).

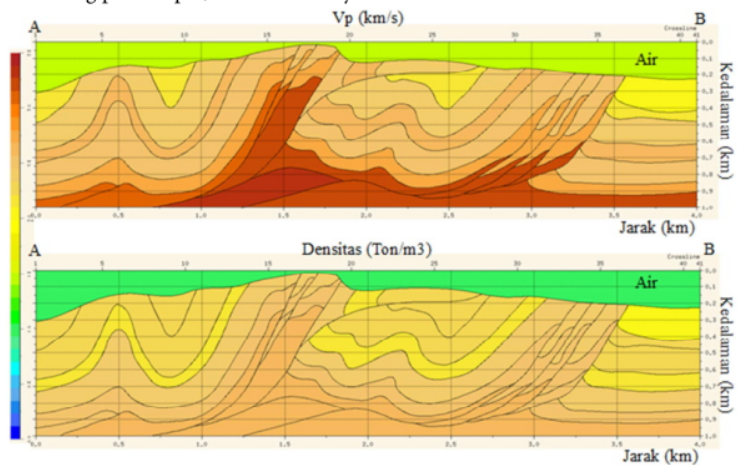
Gaya kompresi yang bekerja pada suatu lempeng dapat mengakibatkan terjadinya patahan pada lempeng tersebut yang dikenal dengan sesar naik. Salah satu bagian yang patah dapat menunjam ke bawah bagian yang lain atau terangkat ke atas (Gambar 2). Proses tersebut terjadi secara berulang-ulang sehingga menyebabkan terjadinya struktur geologi kompleks. Struktur geologi kompleks pada penelitian ini ditandai dengan gabungan beberapa sesar naik, sinklin dan antiklin dengan skala kecil (Gambar 3).



Gambar 1. Penampang struktur geologi kompleks di area Fur Knudeklint, Denmark, memperlihatkan lipatan dan patahan dalam sala kecil (Pedersen, 2014). Gambar atas memperlihatkan singkapan struktur geologi kompleks dan gambar bawah merupakan hasil rekonstruksi.



Gambar 2. Proses pembentukan struktur geologi kompleks yang dikontrol oleh gaya kompresi (Pedersen, 2014). Gaya kompresi menyebabkan patahan yang salah satu sisinya terangkat ke atas sisi lain (step 1). Proses tersebut terus terulang pada step 2, 3 dan seterusnya.



Gambar 3. Model awal yang memperlihatkan model struktur kompleks.

Penelitian diharapkan ini dapat menghasilkan rekomendasi terhadap penentuan arah akuisisi data dan pemilihan stacking metode yang tepat menghasilkan penampang seismik yang lebih baik pada area dengan struktur geologi kompleks. Rekomendasi ini penting untuk menekan ambiguitas reflektor yang dihasilkan agar pemetaan seismik pada daerah dengan

geologi struktur kompleks menjadi lebih efisien.

2. TINJAUAN PUSTAKA

Penjalaran sinar (ray tracing) merupakan metode klasik dalam teori penjalaran gelombang yang telah digunakan selama bertahun-tahun dan dikenal memiliki banyak aplikasi praktis. Salah satu kelebihannya dibandingkan dengan metode lain seperti

metode beda-hingga (finite-difference) adalah metode ini menghitung secara kuantitas jalur sinar dari sumber ke penerima tanpa menghitung solusi eikonal persamaan gelombang sehingga komputasinya menjadi lebih mudah (Antunes dkk., 2014). Penjalaran dapat diklasifikasikan sebagai aproksimatif dari persamaan gelombang seismik dan berlaku untuk frekuensi tinggi (Lu dkk., 2012). Aspek teoritis sinar yang berkaitan dengan geometri sinar tersebut yang mengikuti persamaan gelombang refleksi atau transmisi dari hukum Snell.

Penjalaran merupakan metode pemodelan ke depan (forward modeling) yang bertujuan untuk mendapatkan seismogram sintetik dari model geologi yang diinginkan. Selanjutnya, seismogram sintetik tersebut digunakan untuk merekonstruksi model geologi dengan teknik pemodelan ke belakang (inverse modelling) menggunakan metode CRS stack.

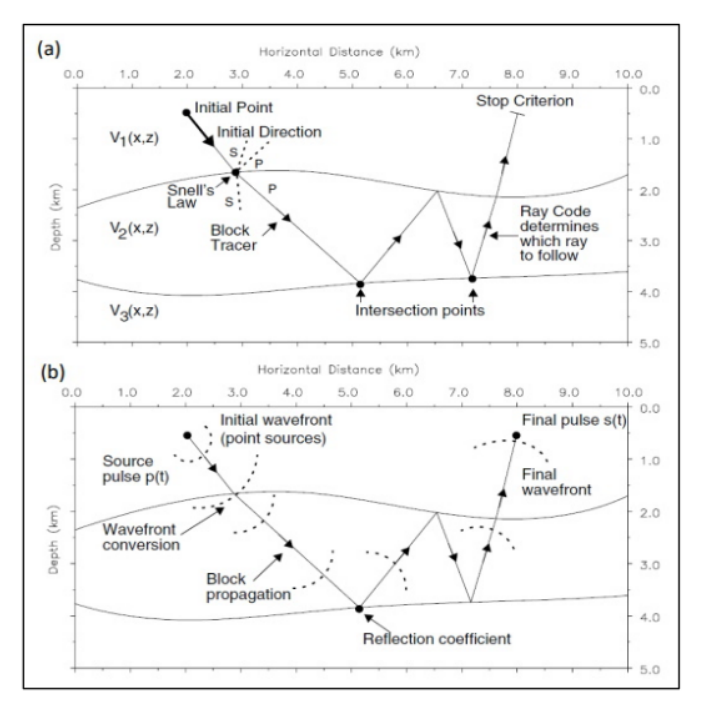
Metode CRS stack adalah metode yang memanfaatkan tiga buah atribut gelombang seismik untuk membentuk kurva waktu penjalaran gelombangnya (Garabito dkk., 2012). Atribut-atribut gelombang sebut adalah sudut kemiringan (α) , jari-jari kelengkungan gelombang normal (R_N) dan jari-jari kelengkungan reflektor (R_{NIP}) . Pada proses CRS stacking, data yang digunakan tidak hanya

berasal dari satu titik CMP, melainkan melibatkan titik-titik CMP yang berada di sekitarnya, sehingga data yang digunakan lebih banyak.

3. METODE PENELITIAN

3.1. Simulasi Penjalaran Sinar dan Metode Common Reflection Surface (CRS)

Berdasarkan geometrinya, penjalaran sinar dibagi menjadi dua bagian dasar, yaitu penjalaran sinar kinematik dan dinamik (Law & Trad, 2017). Penjalaran sinar kinematik menghitung jalur sinar (ray path) dan waktu tempuh sepanjang jalur sinar tersebut (Gambar 4a). Dalam hal ini, pelacak sinar kinematik hanya membutuhkan kecepatan gelombang pada blok model seperti Vp dan/atau Vs, tergantung pada model gelombang yang diinginkan. Sedangkan, penjalaran sinar dinamis (Gambar 4b) menghitung sifat dinamis dari medan gelombang seismik seperti faktor geometris penyebaran, kelengkungan muka gelombang dan koefisien amplitudo sepanjang jalur sinar. Selain Vp dan Vs, pelacak sinar dinamis juga memanfaatkan fungsi densitas. Dengan menggunakan penjalaran sinar dinamis penuh, informasi yang diperoleh cukup untuk menghitung seismogram sintetik pada penerima yang terletak di dekat sinar.



Gambar 4. Elemen-elemen pada penjalaran sinar kinematis (a) dan dinamis (b) dari sumber (Source pulse) ke penerima (final pulse).

Pada perangkat lunak Norsar 2D, hasil simulasi penjalaran sinar disimpan dalam bentuk spikeogram yang mengandung informasi waktu tempuh dan kode sinarnya. Dengan mengasumsikan pulsa sumber seismik p(t), seismogram sintetik dapat dihitung dengan Persamaan 1.

$$s(t) = \sum_{i} U_i [p(t - T_i) \cos \varphi_i - g(t - T_i) \sin \varphi_i]$$
 (1)

dimana U_i adalah total amplitudo dari kontribusi sinar ke-i , φ_i adalah sudut fase dan g(t)adalah transformasi Hilbert dari pulsa sumber seismik p(t).

Metode CRS Stack (Mann dkk., 1999; Müller, 1998) adalah teknik pencitraan seismik refleksi yang menghasilkan penampang Zerooffset, yaitu tumpukan trace yang mana sumber dan penerima berada dalam batas-batas aperture tertentu di sekitar titik pusat X₀. Tidak seperti metode konvensional CMP dan CRP yang mengasumsikan sinar dari sumber ke

penerima dipantulkan oleh suatu titik di bawah titik CMP, metode CRS mengasumsikan bahwa sinar dari pasangan sumber dan penerima yang melewati reflektor melengkung dipantulkan oleh segmen-segmen reflektor.

Secara matematis, kurva waktu tempuh CRS dapat diketahui sebagai orde kedua ekspansi Taylor berikut:

$$t_{hyp}^{2}(x_{m},h) = \left[t_{0} + \frac{2\sin\alpha}{v_{0}}(x_{m} - x_{0})\right]^{2} + \frac{2t_{0}\cos^{2}\alpha}{v_{0}} \left[\frac{(x_{m} - x_{0})^{2}}{R_{N}} + \frac{h^{2}}{R_{NIP}}\right]$$
(2)

dimana t_0 dan x_0 adalah sampel waktu dan koordinat munculnya sinar normal pada setengah offset (h) sama dengan nol, x_m - x_0 merupakan aperture titik tengah dan v_0 merupakan kecepatan konstan di dekat permukaan. α adalah sudut datang geloppang pantul pada x_0 di permukaan, RN adalah radius kelengkungan gelombang normal dan R_{NIP} adalah radius kelengkungan gelombang normal

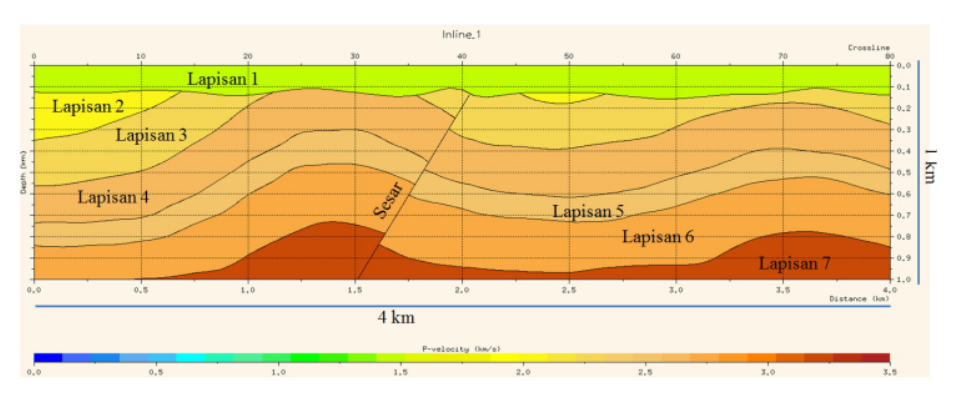
incident point (NIP). Metode CRS stack yaitu metode yang bertujuan mencari koherensi maksimal antara kurva waktu tempuh data seismik dengan kurva waktu tempuh prediksi setelah nilai atribut CRS (α , $R_{\rm N}$ dan $R_{\rm NIP}$) diketahui.

Terdapat dua teknik yang dapat digunakan untuk mencari nilai parameter CRS, yaitu metode bertahap dan metode langsung. Dalam penelitian ini, metode yang digunakan adalah metode langsung dimana proses pencarian atribut CRS dilakukan secara bersamaan pada satu set data yang besar dengan mencari nilainilai atribut yang memiliki tingkat koherensi yang tinggi (Sule dkk., 2013). Konsekuensinya, proses pencarian atribut CRS menjadi sangat lama karena banyaknya variasi atribut CRS yang dihitung secara bersamaan. Untuk mengatasi masalah itu, Lawrens dkk., 2015 telah membuat suatu algoritma yang memungkinkan komputasi pencarian atribut CRS dilakukan secara paralel untuk mempercepat waktu perhitungan.

3.2. Akuisisi Data Seismik Sintetik pada Model Lipatan dan Patahan

Model sederhana yang digunakan berupa tujuh lapisan bergelombang yang tersesarkan (Gambar 5), dimana lapisan pertama merupakan air (Vs = 0 km/s). Ketebalan masing-masing lapisan relatif sama secara lateral dengan struktur sinklin, antiklin dan sesar naik dibuat sebagai acuan untuk menganalisis hasil rekonstruksi seismik terhadap struktur-struktur dominan yang terdapat pada model kompleks. Setelah geometri model dan parameter elastik ditentukan, kode sinar berupa refleksi P dipilih untuk dimulasi penjalaran sinar.

Konfigurasi sumber-penerima yang digunakan dalam penelitian ini adalah common shot dimana posisi sumber dan penerima di permukaan air mengikuti arah sumber. Jumlah sumber yaitu 401, jumlah penerima 48 buah, jarak antar sumber dan antar penerima 10 m, sampling rate yang digunakan 2 ms dan panjang rekaman 1 s serta tanpa penambahan noise. Dua skenario akuisisi data diujicobakan yaitu akuisisi arah AB (skenario 1) dan BA (skenario 2).



Gambar 5. Model sederhana berupa lapisan-lapisan batuan yang memperlihatkan struktur lipatan dan sesar naik.

3.3. Pengolahan Data Seismik Refleksi

Pengolahan data seismik adalah suatu proses yang dilakukan untuk mengubah data seismik lapangan atau hasil simulasi numerik menjadi suatu bentuk penampang seismik. Data seismik belum dapat merepresentasikan kondisi bawah permukaan yang sebenarnya karena masih banyak faktor yang merusak sinyal seismik seperti noise, pengulangan (multiple) dan sebagainya. Secara umum pengolahan data seismik konvensional pada penelitian ini mengikuti langkah-langkah standar seperti reformating, amplitude recovery, filter frekuensi, analisa kecepatan dan koreksi NMO/DMO sehingga diperoleh hasil stack konvensional dengan metode CRP seperti Gambar 6c. Data sintetik yang digunakan merupakan hasil simulasi penjalaran sinar menggunakan perangkat lunak Norsar 2D, baik untuk model sederhana maupun model struktur geologi kompleks.

Hasil pengolahan data seismik secara konvensional pada dasarnya memperlihatkan struktur bergelombang yang cukup mirip seperti model asalnya. Namun, di beberapa bagian juga ditemukan reflektor-reflektor artefak yang tidak sesuai dengan model awal dengan amplitudo cukup kuat. Fenomena itu terlihat terutama pada zona 1 yang merupakan zona kemiringan > 30° dan pada zona 2 yang merupakan zona sesar naik. Keberadaan artefak-artefak tersebut tentu akan mengurangi kualitas seismik penampang mempengaruhi proses interpretasi. Permasalahan lainnya terlihat pada penampang yang berasal dari skenario 1 (Gambar 6a), dimana sesar yang terekonstruksi pada zona 2 justru seolah-olah menjadi sesar normal, sementara pada skenario 2 (Gambar 6b) rekonstruksi sesar naik cukup berhasil. Hal ini dapat terjadi karena adanya faktor iluminasi sinar yang berbeda dari kedua skenario tersebut. Dengan demikian, pemodelan seismik untuk model struktur geologi kompleks ini menggunakan skenario akuisisi yang kedua karena model didominasi oleh sesar naik dengan arah kemiringan yang sama dengan model sederhana.

3.4. Pencarian Atribut CRS: α , R_N dan R_{NIP}

Pencarian atribut CRS dengan metode langsung berdasarkan algoritma yang dibuat oleh Lawrens dkk. (2015). Prinsipnya, pencarian atribut CRS tersebut mengikuti langkah-langkah pada Gambar 7. Pertama, data seismik yang telah diurutkan dalam domain CMP gather dan data rentang nilai parameter atribut α , NR dan R_{NIP} disiapkan untuk menghitung waktu tempuh gelombang (Persamaan 2). Dalam hal ini, rentang nilai paramater atribut CRS yang digunakan adalah seperti pada $Tabel \ 1$. Penentuan rentang nilai atribut inisial ini dilakukan dengan mempertimbangkan banyaknya perhitungan dan memori komputer.

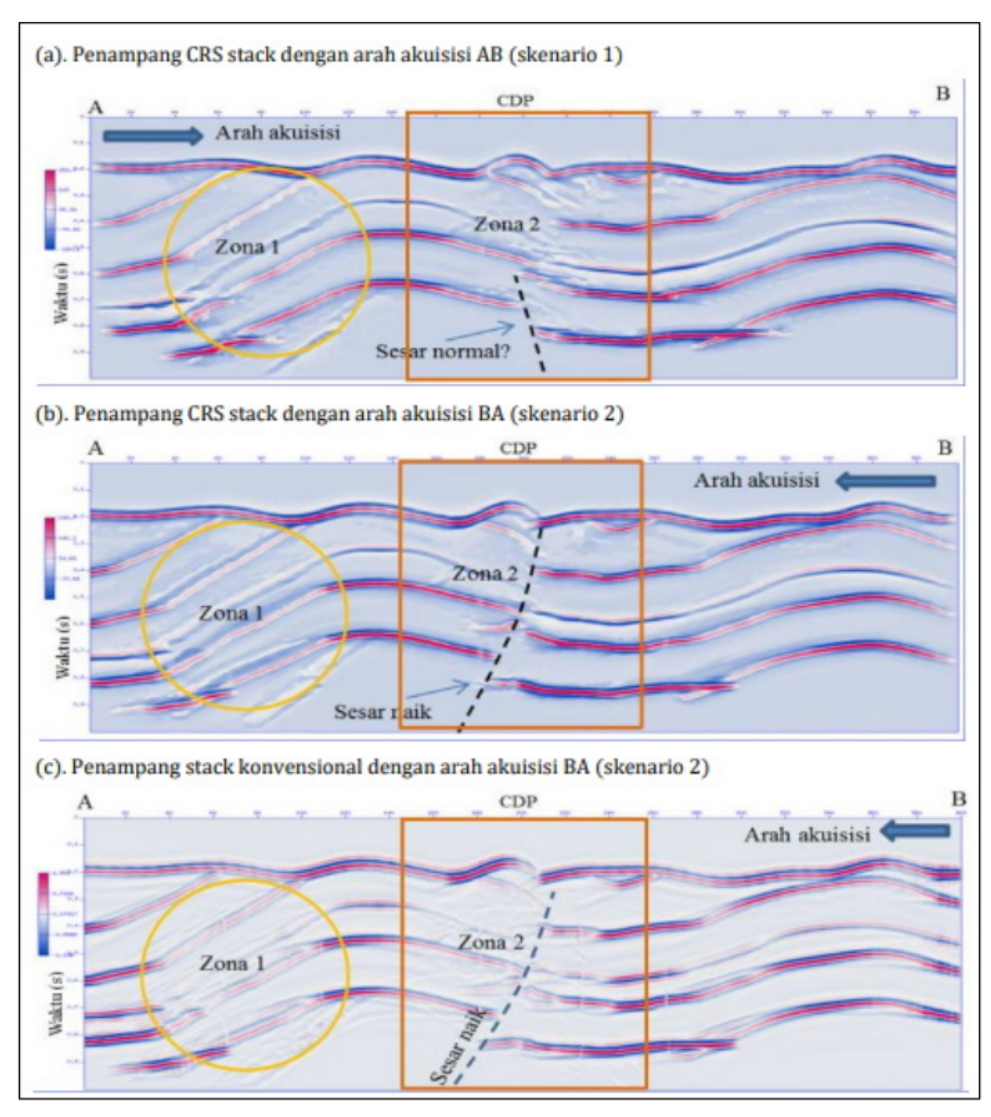
Kedua, satu sampel t_0 diambil pada tiap trace CDP, kemudian menghitung nilai koherensi sesuai dengan rentang nilai parameter atribut α , R_N dan R_{NIP} masukan yang digunakan. Pada saat perhitungan koherensi, dilakukan juga perbandingan nilai koherensi yang dihasilkan untuk tiap-tiap atribut. Atribut yang menghasilkan nilai koherensi paling tinggi akan disimpan sehingga setiap satu sampel waktu t_0 hanya memiliki satu nilai α , R_N dan R_{NIP} .

Selanjutnya, dua langkah di atas diulangi untuk seluruh trace CDP dan t_0 , sehingga terbentuk penampang atribut α , R_N dan R_{NIP} dalam domain CDP. Selain itu, proses pencarian atribut dengan metode langsung ini juga menghasilkan penampang CRS stack sesuai skenario akuisisi yang digunakan.

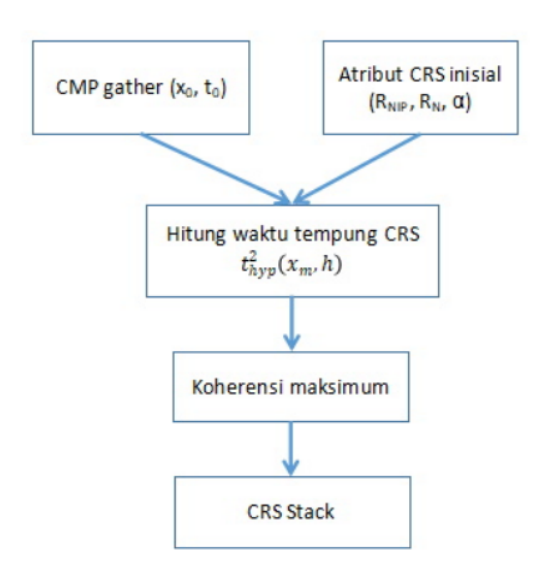
Dari **Gambar 6a** dan **6b**, terlihat bahwa tampilan penampang seismik menjadi lebih mirip dengan model asalnya. Reflektor dengan kemiringan >30° sudah terlihat lebih baik walaupun amplitudonya masih lemah. Walaupun artefak masih muncul di beberapa bagian, namun kuantitasnya sudah berkurang secara signifikan dibandingkan dengan hasil stacking konvensional. Untuk merekonstruksi sesar naik, arah akuisisi dari B ke A (skenario 2) terlihat lebih representatif dibandingkan dari arah sebaliknya. Oleh karena itu, skenario 2 dapat dipilih untuk diaplikasikan pada model struktur geologi kompleks.

Perbedaan signifikan terlihat antara hasil stacking menggunakan metode CRS dengan konvensional. Menggunakan skenario dan parameter akuisisi yang sama, reflektor hasil CRS terlihat lebih tegas dan jelas dibandingkan hasil stacking konvensional (Gambar 6b dan 6c). Di zona 1 penampang konvensional, reflektor dengan sudut kemiringan yang besar

terlihat sangat lemah dibandingkan dengan penampang CRS. Hal yang sama juga terlihat di zona 2. Ini membuktikan bahwa metode CRS lebih bisa mengembalikan posisi reflektor secara lebih baik.



Gambar 6. Hasil stacking dengan metode CRS pada model sederhana berdasarkan arah akuisisi. Pada skenario akuisisi arah A-B, citra sesar di zona 2 tidak merepresentasikan kondisi sebenarnya (a), sedangkan pada skenario akuisisi dengan arah B-A (a dan b) berhasil merepresentasikan sesar naik. Metode stack konvensional (c) kurang berhasil menampilkan reflektor miring di zona 1 dibandingkan metode CRS.



Gambar 7. Diagram alir dalam pencarian nilai atributatribut CRS.

4. HASIL DAN PEMBAHASAN

Pengetahuan tentang struktur geologi sangat berpengaruh terhadap pemilihan skenario dan parameter akuisisi data seismik (Long & Hoffmann, 2003; Saffarzadeh dkk., 2018). Untuk struktur geologi yang dikontrol oleh sesar naik, akuisisi data dari arah depan bidang sesar atau hanging wall (skenario 1) justru menghasilkan penampang seismik yang menyerupai sesar normal. Sebaliknya, jika akuisisi data dilakukan dari arah foot wall (skenario 2), sesar naik dapat digambarkan dengan lebih baik terutama jika diproses dengan metode CRS. Hal itu disebabkan karena pada skenario 1, sebagian ilumniasi sinar tidak direfleksikan oleh reflektor di belakang bidang sesar karena langsung direfleksikan oleh bidang sesar itu sendiri (Gambar 8a). Fenomena yang sama juga terjadi pada struktur kompleks (Gambar 8c) dimana sinar dari arah foot wall tidak sampai pada lapisan yang paling dalam. Sementara pada skenario 2, sinar-sinar dapat direfleksikan oleh reflektor baik di depan bidang sesar maupun di belakang bidang sesar (Gambar 8b). Perbedaan ini sesuai dengan

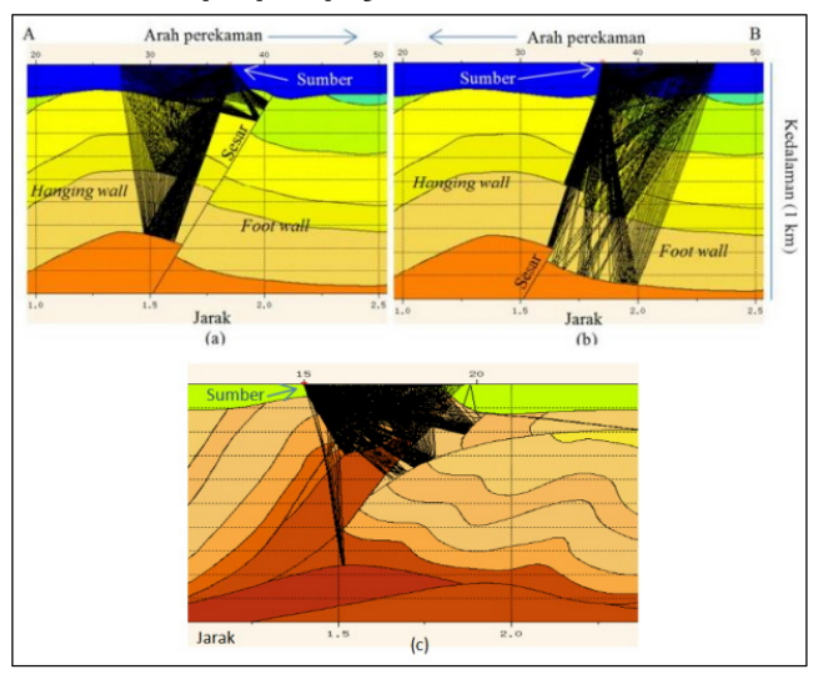
karakter gelombang seismik yang akan menunjukkan struktur berbeda pada skala dan arah lintasan yang berbeda pula (Wason, 2017).

Simulasi penjalaran sinar untuk akuisisi data seismik pada model struktur geologi kompleks ini juga menggunakan parameter akuisisi yang sama dengan percobaan sebelumnya, tetapi hanya dilakukan pada satu skenario akuisisi, yaitu arah dari B ke A (skenario 2). Hasil stack secara konvensional dari model struktur geologi kompleks terlihat belum menunjukkan hasil yang cukup baik. Beberapa reflektor di bawah reflektor tegas (dasar laut) terlihat tegas pada reflektor yang relatif datar, namun pada daerah dengan reflektor yang kompleks atau kemiringan yang besar (>30°) amplitudo masih lemah. Metode CRS juga efektif untuk meningkatkan kulitas citra pada seismik laut (Daruartati dkk., 2015).

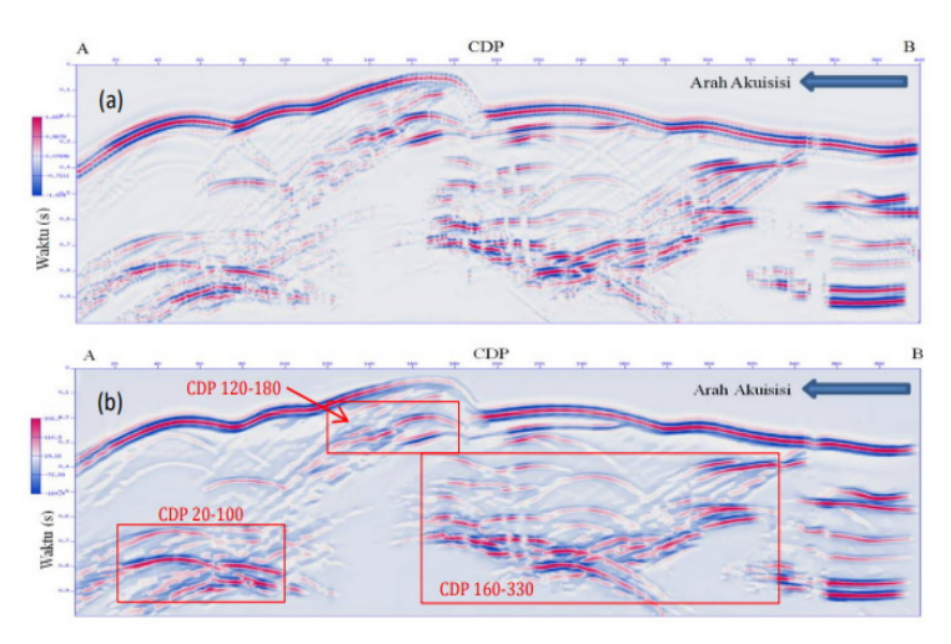
Penampang CRS stack juga diperoleh dengan menggunakan rentang nilai paramater yang sama seperti **Tabel 1** sebagai input, sehingga diperoleh penampang CRS stack seperti **Gambar 9a**. Pada gambar tersebut, penampang seismik CRS stack dengan arah akuisisi dari B ke A memperlihatkan kualitas

reflektor yang lebih baik dibandingkan dengan penampang hasil stack konvensional dengan metode CRP (Gambar 9b). Hal tersebut terlihat pada beberapa bagian yang ditunjukkan oleh tanda panah dimana reflektor pada penampang

hasil CRS stack terlihat lebih menerus dibandingkan dengan hasil metode konvensional.



Gambar 8. Ilustrasi penjalaran sinar di sekitar sesar naik pada model sederhana (a dan b), gambar a arah perekaman dari belakang bidang sesar, gambar b arah perekaman dari depan bidang sesar dan pada model struktur geologi kompleks (c).



Gambar 9. Perbandingan penampang seismik dari model struktur geologi kompleks menggunakan metode stacking konvensional CRP (a) dan CRS (b) dengan skenario akuisisi yang sama (arah B-A). Area kotak merah menunjukkan peningkatan kualitas reflektor yang signifikan.

Tabel 1. Rentang nilai parameter atribut CRS yang digunakan sebagai inisial.

Parameter	Min.	Maks.	Delta
α	-60	60	1
RN	-20.000	20.000	2.000
RNIP	25	1000	25

Motode CRS tidak bergantung pada model kecepatan seperti halnya pada metode konvensional, melainkan bergantung pada atribut CRS itu sendiri (Rukmana & Minarto, 2016) sehingga diperlukan proses migrasi domain waktu untuk menghilangkan afek difraksi (Nainggolan & Subarsyah, 2014). Pada penelitian ini, pencarian atribut CRS dilakukan secara langsung dimana atribut CRS diperoleh dengan mencari nilai koherensi maksimum atas suatu perkiraan nilai atribut pada persamaan kurva waktu tempuh CRS. Walaupun efek difraksi masih ada karena tidak melewati proses migrasi, kualitas reflaktor reflektor terlihat lebih tegas.

Penegasan kulitas reflektor dapat terlihat pada CDP ke 20-100 dengan t = 0.65 - 0.95 s, CDP ke 120-180 dengan t = 0.15 - 0.35 s dan sebagian besar reflektor pada CDP ke 160-330 (ditandai dengan kotak merah pada Gambar 9b). Di beberapa bagian masih terlihat reflektor yang hilang (lemah) diakibatkan oleh struktur lipatan yang rapat sehingga reflektor pada daerah-daerah tersebut tidak terekonstruksi dengan maksimal. Hal ini berkaitan dengan pemilihan rentang nilai dan ukuran parameter CRS yang digunakan untuk mencari nilai koherensi maksimum masih cukup besar (Tabel 1) untuk mempermudah komputasi. Rentang nilai yang besar dengan ukuran parameter CRS yang lebih kecil akan meningkatkan S/N ratio, namun memerlukan waktu perhitungan yang lebih lama (Sule et al., 2013).

5. KESIMPULAN

Struktur geologi sangat berpengaruh terhadap pemilihan skenario akuisisi data seismik. Untuk struktur geologi yang dikontrol oleh sesar naik, arah akuisisi yang tepat adalah dari belakang bidang sesar (foot wall) ke arah depan bidang sesar (hanging wall). Arah akuisisi yang salah akan mengakibatkan sesar naik pada model awal seolah-olah menjadi sesar normal setelah dilakukan pengolahan data seismik. Hal itu diakibatkan karena sinar yang dipancarkan di atas bidang sesar tidak mengenai reflektor pada kedua sisi bidang sesar. Skenario akuisisi yang dipilih pada penelitian ini telah terbukti berhasil merekonstruksi model geologi struktur kompleks di daerah Fur Knudeklint. Skenario tersebut juga dapat diaplikasikan untuk lapangan-lapangan di Indonesia yang memiliki struktur geologi kompleks yang dikontrol oleh sesar naik.

Pada percobaan dengan model sederhana, reflektor-reflektor miring dan melengkung dapat digambarkan dengan sangat baik dengan metode CRS. Artefak-artefak berupa fault shadow yang banyak dijumpai pada penampang seismik dengan metode stack konvensional dapat dihilangkan secara signifikan.

Pengolahan data seismik dengan menggunakan metode CRS stack pada struktur geologi kompleks terbukti dapat menghasilkan reflektor dengan kualitas yang lebih baik secara visual dibandingkan dengan konvensional. Walaupun tidak terlalu sukses merekonstruksi reflektor-reflektor tingkat kelengkungan tinggi, namun metode ini cukup efektif dalam meningkatkan kulitas reflektor. Dengan demikian, metode ini perlu digunakan untuk mengolah data seismik pada data lapangan di Indonesia yang memiliki struktur lipatan dan patahan dengan skala kecil agar pengolahan data seismik menjadi lebih efisien.

UCAPAN TERIMA KASIH

Penulis mengucapkan terima kasih kepada Center of Excellence for Carbon Capture and Sequestration or Carbon Capture Sequestration Utilization in Indonesia (CoE CCS/CCUS Indonesia) yang telah menyediakan tempat bagi penulis untuk menyelesaikan penelitian ini.

AFTAR PUSTAKA

- Antunes, A. J. M., Leal-Toledo, R. C. P., Filho, O. T. S., & Toledo, E. M. (2014). Finite Difference Methods for Solving Acoustic Wave Equation using Locally Adjustable Time-Steps. Journal Procedim Computer Science, Elsevier, 29, 627–636.
- Coimbria, T. A., Faccipieri, J. H., Rueda, D. S., & Tygel, M. (2016). Common-Reflection-Point Time Migration. Studia Geophysica Et Geodaetica, 60, 500–530. https://doi.org/doi:10.1007/s11200-015-0392-1.
- Darsartati, H., Setyawan, A., & Kusuma, I. A. (2015).
 Aplikasi Metode Common Reflection Surface (CRS) untuk Meningkatkan Hasil Stack Data Seismik Laut 2D Wilayah Perairan "Y."

 Y oungster Physics Journal, 4(4), 291–298.
- Garabito, G., Stoffa, P. L., Lucena, L. S., & Cruz, J. C. R. (2012). Part I CRS Stack: Global Optimization of The 2D CRS Attributes. Journal of Applied Geophysics. Elsevier, 85, 92–101.
- Law, B., & Trad, D. (2017). Comparison of Traveltime Computation and Ray Tracing Methods.
- Lawrens, F., Sule, M. R., & Afnimar. (2015). Parallel Computation for Speedup The Computation Time of Direct Determination of Common-Reflection-Surface (CRS) Attribute. Proceedings of the 12th SEGJ International Symposium, Tokyo, 18-20 November 2015.
- Long, A. S., & Hoffmann, J. (2003). 3D Strike vs Dip Streamer Shooting Direction Comparison. ASEG Extended Abstracts, 2, 1–4. https://doi.org/DOI: 10.1071 ASEG2003ab099
- Lu, B., Darmon, M., & Potel, C. (2012). Stochastic Simulation of The High-Frequency Wave Propagation in a Random Medium. Journal of Applied Physics, 112(5), 1–13.

 https://doi.org/doi.10.1063/1.4748274
- Mann, J., Jager, R., Müller, T., Höcht, G., & Hubral, P. (1999). Common-Reflection Surface Stack- a

- Real Data Example. Journal of Applied Geophysics, 42, 301–318.
- Müller, T. (1998). Common Reflection Surface Stack Versus NMO/Stack dan NMO/DMO/Stack. 60th M eeting Europe Association Exploration Geophysics, Expanded A bstracts.
- Nainggolan, T. B., & Subarsyah. (2014). Suppression
 Diffraction Effects Using Kirchoff Pre-Stack Time
 Migration on 2D Seismic Multichannel Data at
 Flores Sea.
- Pedersen, S. A. S. (2014). Architectures of Glaciotectonic Complexes. Geosciences, 4, 269–296.
- Pownall, J., Hall, R., & Watkinson, I. M. (2013). Extreme Extension Across Seram and Ambon, Eastern Indonesia: Evidence for Banda Slab Rollback. Solid Earth Discussions, Elsevier, 5(1), 525–560.
- Ruckemann, C. . (2012). Comparison of Stacking Methods Regarding Processing and Computing of Geoscientific Depth Data. Proceeding in The 4th International Conference on Advance Geographic Information Syste, Aplication and

- Services, Valencia, Spain, January 30 February 4, 2012.
- Rukmana, K., I., & Minarto, E. (2016). Imaging Surface Menggunakan CRS: Studi Kasus Pada Steep Dip Reflector dan Data Low Fold. Jurnal Sains Dan Seni ITS, 5(2), 94–98.
- Saffarzadeh, S., Javaherian, A., Hasani, H., & Talebi, M. A. (2018). Improving Fault Image by Determination of Optimum Seismic Survey Parameters Using Ray-Based Modeling. Journal of Geophysics and Engineering, 15(3), 668–680.
- Sule, M. R., Zaky, A., Lawrens, F., & M., J. (2013). Direct Determination of Common-Reflection-Surface Attributes. Proceedings of the 11th SEGJ International Symposium, Yokohama, Japan, 18-21 November 2013.
- Wason, H. (2017). Simultaneous-Source Seismic Data Acquisition and Processing with Compressive Sensing University of British Columbia
- Yilmaz, & Claerbout. (1980). Prestack Partial Migration, Geophysics, 45, 1753–1779.

PEMODELAN SEISMIK PADA STRUKTUR GEOLOGI KOMPLEKS MENGGUNAKAN METODE COMMON REFLECTION SURFACE (CRS)

ORIGI	NALITY REPORT			
8 SIMILA	8% SIMILARITY INDEX			
PRIMARY SOURCES				
1	onlinelibrary.wiley.com Internet	50 words — 1%		
2	text-id.123dok.com Internet	33 words — 1 %		
3	www.wit.uni-hamburg.de	33 words — 1 %		
4	www.mdpi.com Internet	28 words — 1%		
5	docplayer.info Internet	27 words — 1%		
6	tel.archives-ouvertes.fr	26 words — 1%		
7	sinta.ristekbrin.go.id	24 words — 1%		
8	Andrew S. Long, Charles R.T. Ramsden, Jurgen Hoffmann. "In pursuit of the ideal 3D streamer symmetric sampling criteria", ASEG Extended Ab	15 words — < 1 % ostracts, 2019		



- jurnal.darmajaya.ac.id

 11 words < 1 %
- Zhen-chun Li. "Migration velocity modeling based on common reflection surface gather", Acta Seismologica Sinica, 07/2003

 Crossref
- id.scribd.com 9 words < 1%
- library.seg.org $_{\text{Internet}}$ 9 words -<1%
- moam.info
 Internet

 9 words < 1%
- German Garabito, Paul L. Stoffa, Carlos A.S. Ferreira, João C.R. Cruz. "Part II CRS-beam PSDM: Kirchhoff-beam prestack depth migration using the 2D CRS stacking operator", Journal of Applied Geophysics, 2012 Crossref
- es.scribd.com
 Internet

 8 words < 1%
- ojs.unm.ac.id
 Noternet

 8 words < 1%

Tor Arne Johansen, Bent Ole Ruud, Tormod Henningsen, Marco Brönner. "Seismic mapping of on-shore sediments at Andøya, Norway density North Atlantic riffice" 4 words - < 1%North Atlantic rifting", Interpretation, 2020 Crossref

EXCLUDE BIBLIOGRAPHY ON

OFF